

บทที่ 2

ทฤษฎี

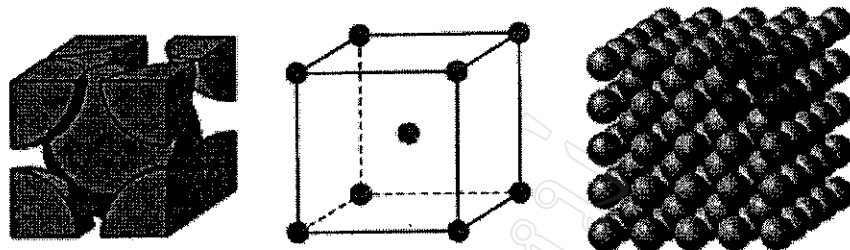
2.1 โลหะผสมไทเทเนียม (Titanium alloys)

โลหะไทเทเนียมบริสุทธิ์สามารถผลิตได้โดยมีสารตั้งต้นจาก TiO_2 จากนั้นจะถูกเปลี่ยนให้เป็น $TiCl_4$ และ จะใช้กระบวนการสกัดให้เป็นไทเทเนียมบริสุทธิ์โดยใช้ โซเดียม หรือ แมgnีเซียม เมื่อออกจากโลหะไทเทเนียมมีความไวต่อการเกิดปฏิกิริยา กับออกซิเจน ดังนั้นกระบวนการผลิต ไทเทเนียมบริสุทธิ์จึงต้องทำในสูญญากาศ

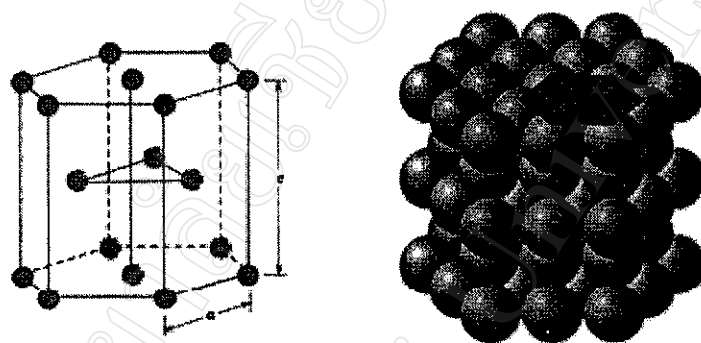
โลหะไทเทเนียมมีสมบัติที่ดีมากต่อการทนทานการกัดกร่อน มีความแข็งแรงสูง มีสมบัติที่ดี ณ ที่อุณหภูมิสูง โดยไทเทเนียมจะมีความแข็งแรงได้ถึง 1400 MN.m^{-2} ในขณะที่ความหนาแน่นมีค่า 4.50 Mg.m^{-3} จึงทำให้โลหะผสมไทเทเนียมเด่นกว่าโลหะชนิดอื่น นอกจานนี้ออกไซด์ของไทเทเนียม (TiO_2) ยังช่วยป้องกันการกัดกร่อนและสิ่งปนเปื้อนต่าง ๆ ได้ดีมาก โดยเฉพาะที่ อุณหภูมิต่ำกว่า 535°C แต่ถ้าหากว่ามีชั้นฟิล์มออกไซด์จะมีการแตกได้ ทำให้โอกาสที่จะติดตัวกันของ คาร์บอน(C), ไนโตรเจน(N) หรือไฮโดรเจน(H) เข้าทำปฏิกิริยากับไทเทเนียม ส่งผลให้คุณสมบัติต่าง ๆ จะลดลง เนื่องจากสมบัติการทนทานการกัดกร่อนที่ดี โลหะไทเทเนียมจึงนิยมนำไปใช้ทำอุปกรณ์ทางเคมี, ชิ้นส่วนหรืออุปกรณ์ที่มีการสัมผัสด้วยน้ำทะเล หรือแม้แต่ อุปกรณ์ทางการแพทย์ นอกจากนี้ อุตสาหกรรมทางการบินก็นิยมใช้โลหะไทเทเนียม ในการทำ ชิ้นส่วนยานอวกาศ, ชิ้นส่วนเครื่องยนต์เจ็ต[1-3]

เมื่อนำธาตุอื่นมาผสม เช่น ไนโตรบียม(Nb) จะทำให้เกิด intermetallic compound ที่มี การนำไฟฟ้าได้ยังคงขึ้น ถ้านำนิเกล(Ni) มาผสม ทำให้เกิดโลหะผสมไทเทเนียม ที่สามารถจำรูป (shape – memory effect) ได้ และถ้าโลหะผสมมีอะลูมิเนียม(Al) ประกอบอยู่ จะปรับปรุงสมบัติ เชิงกล (Mechanical Properties) เช่น ความแข็ง ของโลหะผสมดีขึ้น

โลหะไทเทเนียมมีสมบัติเป็น allotropic ที่อุณหภูมิต่ำ โครงสร้างผลึกจะเป็นแบบ HCP (Hexagonal Closed Pack) หรือมีชื่อว่า อัลฟ่า (α) ถ้าอุณหภูมิมากกว่า 882°C โครงสร้าง ผลึกจะเป็นแบบ BCC (Body Center Tetragonal) หรือ เบต้า (β) [2,3]



รูปที่ 2.1 แสดงโครงสร้างผลึกแบบ BCC [2]



รูปที่ 2.2 แสดงโครงสร้างผลึกแบบ HCP [2]

เมื่อมีการเติมสารต่าง ๆ ลงไป จะช่วยปรับปรุงสมบัติต่าง ๆ และเปลี่ยนแปลงอุณหภูมิ การเปลี่ยนสมบัติของ allotropic (allotropic transformation temperature) แต่ถ้ามีการเติมสาร ตะกั่ว (Pb) หรือ เซอร์โคเนียม(Zr) ลงไป จะช่วยปรับปรุงให้โลหะสมมีความแข็งแรงดีขึ้น และ อุณหภูมิการเปลี่ยนสมบัติ allotropic จะไม่เปลี่ยน เมื่อมีการเติม อะลูมิเนียม(Al), ออกซิเจน(O), ไฮโดรเจน(H) หรือเป็นตัวเสถียร α (α -stabiliser) จะทำให้อุณหภูมิที่ใช้ในการเปลี่ยน จาก α เป็น β สูงขึ้น สำหรับตัวเสถียร β อย่างเช่น วนาเดียม(V), แทนทาลัม(Ta), มอลิบดีนัม(Mo) และไนโตรเจน(Nb) จะถูกเติมลงไปเพื่อ ทำให้เฟส β สามารถเสถียร ณ ที่อุณหภูมิท้องได้ โดย จำนวนมาก มักจะมีการเติม แมงกานีส(Mn), โครเมียม(Cr) และเหล็ก(Fe) เพื่อให้เกิดปฏิกิริยา浴 เคติก (Eutectic Reaction) และช่วยลดอุณหภูมิที่ใช้ในการเกิดเฟสคู่ คือทั้ง α และ β พื้อกัน ที่อุณหภูมิท้องได้ โลหะสมไทเทเนียมสามารถแบ่งออกได้เป็น 4 ชนิดหลัก คือ

1. โลหะไทเทเนียมบริสุทธิ์ (Commercially Pure Titanium)

เป็นโลหะไทเทเนียมที่ไม่ได้เจือปนสารใด ๆ จุดประสงค์หลักคือ เพื่อต้องการความทนทานการกัดกร่อนที่ดีมาก อย่างไรก็ตามโอกาสที่ออกซิเจนจะเข้าทำปฏิกิริยา ก็มีสูงมาก ดังนั้น โลหะไทเทเนียมประเภทนี้ จึงมีออกซิเจน ปนอยู่บ้าง ผลก็คือ ความแข็งแรงจะสูงขึ้น แต่ความทนทานการกัดกร่อนจะลดลง การประยุกต์ใช้งานของโลหะไทเทเนียมประเภทนี้ มักจะพบในอุตสาหกรรมเคมีและอุตสาหกรรมปิโตรเคมี เช่น ภาชนะบรรจุสารเคมี, ท่อแป๊ป, บีม, วัลว์ เป็นต้น

2. โลหะผสมไทเทเนียมแบบ α (Alpha Titanium Alloys)

โลหะผสมไทเทเนียมแบบ α นี้ เกือบทั้งหมดจะมีส่วนประกอบของอะลูมิเนียม ประมาณ 5 % และมีดีบุก 2.5 % ซึ่งทำให้โลหะผสมไทเทเนียม มีโครงสร้างผลึกเป็น HCP ความแข็งแรงสูง จะสูงมาก วิธีการทำให้โลหะผสมไทเทเนียมเกิดเป็นเฟส α ก็คือ โลหะผสมจะถูก anneal ที่อุณหภูมิสูงซึ่งเป็นบริเวณที่เกิด β ขึ้น จากนั้นการทำให้เย็นตัวอย่างรวดเร็ว จะเกิดโครงสร้างผลึกเป็นแบบ α หรือที่เราเรียกว่า 'Widmanstatten' โลหะผสมประเภทนี้จะให้การทนทานต่อการเกิด ความล้า (Fatigue) ที่ดี แต่ถ้าต้องการให้มีความทนทานต่อความคืบ (Creep) ต้องปล่อยให้เย็นตัวในเตาเผา

3. โลหะผสมไทเทเนียมแบบ β (Beta Titanium Alloys)

เมื่อมีการเดิม ไมลิบดีนัม หรือ วนาเดียม ลงไปจำนวนมากๆ โลหะผสมไทเทเนียมจะสามารถคงเฟส β ที่อุณหภูมิห้องได้ และถ้าต้องการให้เนื้อโลหะผสมเป็นเฟส β ทั้งหมด จะต้องอาศัยการทำให้เย็นตัวอย่างรวดเร็วด้วย โลหะผสมประเภทนี้จะมีความแข็งแรงที่สุด ในบรรดาโลหะผสมไทเทเนียมด้วยกัน ความแข็งของโลหะผสมไทเทเนียมจะมีความสัมพันธ์โดยตรงกับปริมาณสารเจือ (ทั้ง ไมลิบดีนัม และ วนาเดียม) และกระบวนการทางความร้อนที่ทำให้เกิดการแตกตะกอนของ α ใน β การประยุกต์ใช้งานจะเน้นไปทางอุตสาหกรรมอากาศยาน โดยเฉพาะชิ้นส่วนที่ต้องทนความดันหรือแรงอัดที่สูงมาก

4. โลหะผสมไทเทเนียมแบบ $\alpha - \beta$ (Alpha – Beta Titanium Alloys)

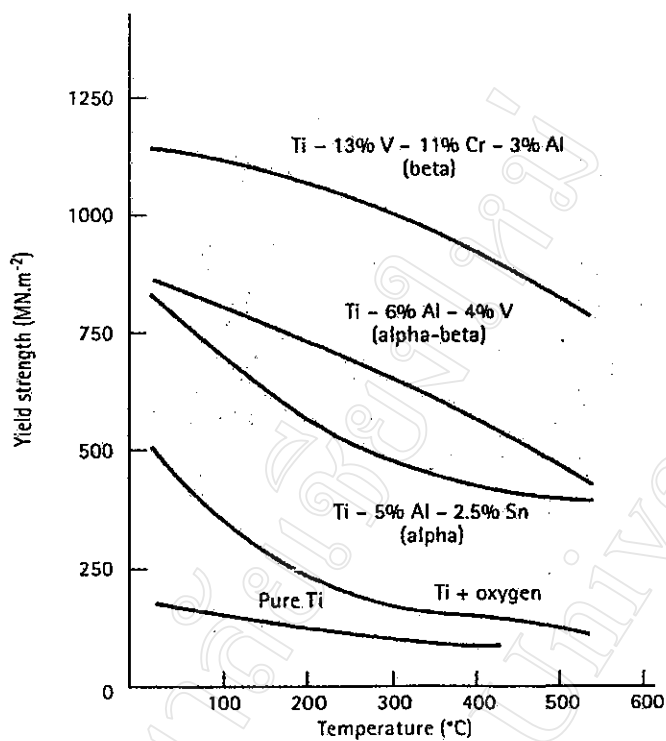
เมื่อในโลหะผสมมีทั้งสารเจือที่เป็นตัวเสถียร α และ β อยู่ในสัดส่วนที่เหมาะสม ก็สามารถเกิดเฟสทั้ง α และ β ได้ ณ ที่อุณหภูมิห้อง Ti-6Al-4V เป็นตัวอย่างที่เห็นได้ชัดที่สุดของโลหะผสมประเภทนี้

การอบอ่อน (Annealing) จะช่วยปรับปรุงสมบัติ ความเหนียว (Ductility), สมบัติความเป็นเนื้อเดียวกัน (Uniform property) จะทำได้โดยจะให้ความร้อนแก่โลหะผสมโดยที่อุณหภูมิจะ

ต่ำกว่า บริเวณที่เป็น β เล็กน้อย ทำให้เฟส α เหลืออยู่เล็กน้อย จากนั้น ถ้าทำให้เย็นตัวอย่างช้า ๆ พบว่า จะเกิดเกรนของ α ที่มีด้านเท่า ๆ กัน (Equiaxed grains) ซึ่งโครงสร้างแบบนี้ จะให้ความเนื้อหาที่ดีและยังป้องกันการเกิดการแตกร้าว (Crack) ได้อีกด้วย 夙การทำให้เย็นตัวอย่างรวดเร็ว พบร้าว เฟสของ α จะมีโครงสร้างแบบ acicular ซึ่งโอกาสที่การแตกร้าวต่าง ๆ จะเกิดขึ้นได้ และจะเกิดตามบริเวณรอยต่อของเฟส α - β อย่างไรก็ตามการทนทานต่อความคืบ (Creep) จะดี การประยุกต์ใช้งานก็จะเน้นไปทางอุปกรณ์ที่ต้องการสมบัติเชิงกลที่ดี เช่น คันเกียร์, ชิ้นส่วนเครื่องยนต์เจ็ต[3]

ตารางที่ 2.1 แสดงค่าสมบัติเชิงกลของโลหะไทเทเนียมแต่ละชนิด [3]

Materials	Tensile Strength (MN.m ⁻²)	Yield Strength (MN.m ⁻²)	% Elongation
Pure Ti			
99.5%	240	170	24
99.0%	550	485	15
Alpha-Ti alloys			
5%Al-2.5Sn	860	780	15
Beta-Ti alloys			
13%V-11%Cr-3%Al	1290	1210	5
Alpha-Beta Ti alloys			
6%Al-4%V	1030	970	8



รูปที่ 2.3 กราฟแสดงความสัมพันธ์ระหว่างค่า Yield Strength กับ อุณหภูมิ ของโลหะ
ไทเทเนียมแต่ละชนิด [2]

2.2 การแพร่ในของแข็ง (Diffusion in Solids) [3,5]

การแพร่คือ การที่อะตอมมีการเคลื่อนที่ภายในวัสดุ เพื่อที่จะช่วยลดความแตกต่างของความเข้มข้นอะตอม (Concentration gradient) และทำให้เกิดความเป็นเนื้อเดียวกัน อะตอมจะเคลื่อนที่ได้ต้องอาศัยกระบวนการที่กระทำต่อขั้นงาน

กระบวนการแพร่จะพบเมื่อมีการนำไฟฟ้าผ่านกระบวนการทางความร้อน (Heat treatment of Metals), การผลิตเซรามิก (Manufacture of ceramics), กระบวนการแข็งตัวของวัสดุ (Solidification of materials), การนำความร้อนและไฟฟ้า (Thermal and Electrical Conductivity)

ความเสถียรของอะตอม (Stability of Atoms)

เมื่อเกิดความไม่สมบูรณ์ (Imperfection) ขึ้นในผลึกเงิน เกิดช่องว่าง (Vacancy) หรือเกิดการแทรกของอะตอม (Interstitial) และความไม่สมบูรณ์นี้จะไม่เสถียร เมื่ออะตอมได้รับพลังงาน มันก็จะสามารถเคลื่อนที่หรือแพร่ได้ การแพร่ของอะตอมนั้นอาจเป็นไปได้ทั้งอะตอมแพร่จากตำแหน่งปกติเดิมไปยังช่องว่าง หรือจากตำแหน่ง interstitial หนึ่ง ไปยังอีกอันหนึ่งก็ได้ นอกจากนี้ การแพร่ของอะตอมยังสามารถแพร่ข้ามเกรน (Grains) ได้ ทำให้เกิดการเคลื่อนที่ของขอบเกรน (Grain Boundary)

ความสามารถของอะตอมและความไม่สมบูรณ์ในการแพร่จะเพิ่มขึ้นตามอุณหภูมิ หรือ พลังงานความร้อนที่ได้รับ อัตราการเคลื่อนที่ (Rate) จะมีความสัมพันธ์ดังนี้

$$\text{rate} = C_0 \exp -\frac{Q}{RT} \quad \dots\dots\dots (2.1)$$

เมื่อ C_0 คือ ค่าคงที่

R คือ ค่าคงที่ของแก๊ส ($8.314 \text{ J.mol}^{-1}.\text{K}^{-1}$)

T คือ ค่าอุณหภูมิสัมบูรณ์ (Absolute Temperature) (K)

Q คือ ค่าพลังงานกระตุ้น (J.mol^{-1})

ถ้าเราทำให้สมการอยู่ในรูป natural logarithms จะได้

$$\ln(\text{rate}) = \ln C_0 - \frac{Q}{RT} \quad \dots\dots\dots (2.2)$$

นำสมการที่ได้ไปสร้างกราฟความสัมพันธ์ระหว่าง \ln (rate) และ $1/T$ ความชันของกราฟที่ได้จะมีค่าเป็น $-Q/R$ เราก็สามารถคำนวณค่า Q ได้

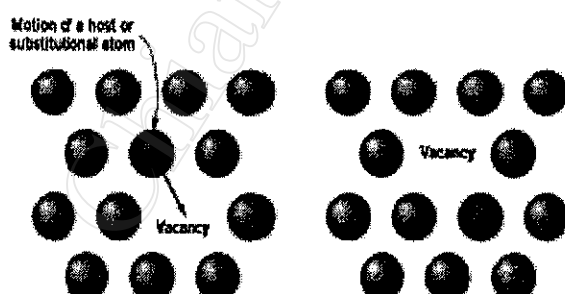
2.2.1 กลไกของการแพร่ (Diffusion Mechanism)

ในของแข็งที่มีความบริสุทธิ์ พบร่วมกับการที่อะตอมเคลื่อนที่จาก lattice หนึ่งไปยังอีกอันหนึ่ง เราเรียกว่ากระบวนการนี้ว่า Self – Diffusion โดยสามารถสังเกตได้จากตัวอะตอมที่เราจำบัลังสี (Radioactive Tracers) ตัวอย่างเช่น ทองคำ ถ้าอะตอมปักติดจะเป็น Au^{197} แต่ถ้าอะตอมของทองที่มีการจำบัลังสี จะเป็น Au^{198} แล้วเราจะพบการแพร่แบบนี้ในวัสดุทุกชนิด แต่พฤติกรรมที่เกิดจาก การแพร่แบบนี้ก็ไม่มีความสำคัญมากนัก

สำหรับการแพร่ของอะตอมที่เจือปนก็ดีขึ้น เช่นนำแผ่นนิเกล กัน ทองแดงมาซีอมกัน พบร่วมกันอะตอมของนิเกลจะแพร่เข้าไปในทองแดง และในขณะเดียวกันอะตอมของทองแดง ก็จะแพร่เข้าไปยังนิเกล กลไกการแพร่ของอะตอมเจือนี้ จะมี 2 แบบด้วยกันคือ

1. การแพร่แบบช่องว่าง หรือ แทนที่ (Vacancy Diffusion or Substitutional)

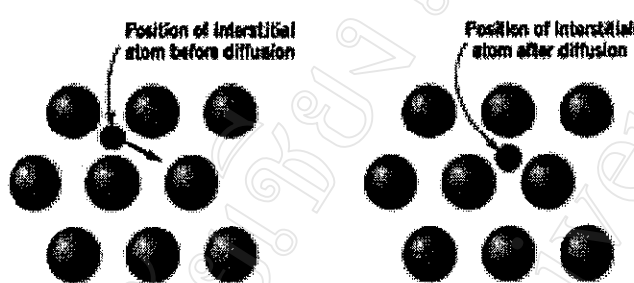
ในกลไกการแพร่แบบนี้อะตอมในวัสดุ หรือ อะตอมเจือที่แทนที่ในตำแหน่งอะตอมเดิม จะเคลื่อนที่จากตำแหน่ง lattice หนึ่งไปยังตำแหน่งของว่างที่อยู่ใกล้เคียง (เกิดช่องว่างใหม่ ณ ที่ตำแหน่ง lattice เดิม) และการแพร่แบบนี้จะเกิดไปอย่างต่อเนื่อง เราเรียกการแพร่แบบนี้ว่า การแพร่แบบช่องว่าง (Vacancy Diffusion) จำนวนของช่องว่างที่เกิดขึ้นจะขึ้นกับอุณหภูมิ



รูปที่ 2.4 แสดงการแพร่แบบช่องว่าง [2]

2. การแพร่แบบแทรก (Interstitial Diffusion)

การแพร่แบบแทรกมีหลักการคือ เมื่ออะตอมที่แทรกอยู่ในโครงสร้างผลึกเคลื่อนที่จากตำแหน่งที่แทรก (Interstitial Site) จากตำแหน่งหนึ่งไปยังตำแหน่งแทรกอีกอันหนึ่ง และซ่องว่างไม่จำเป็นต่อการแพร่แบบนี้ ในผลึกส่วนใหญ่จะมีอะตอมแทรกมากกว่าซองว่าง ดังนั้น การแพร่แบบนี้จึงเกิดขึ้นได้เร็วกว่าการแพร่แบบซองว่าง

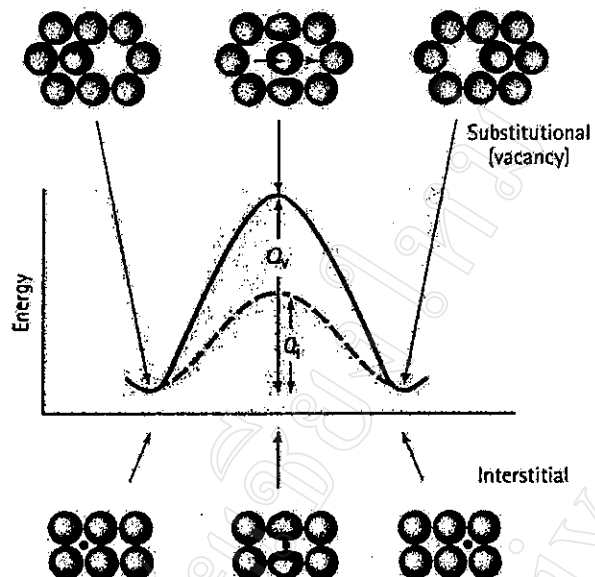


รูปที่ 2.5 แสดงการแพร่แบบแทรก [2]

2.2.2 พลังงานกระตุ้นที่ใช้ในการแพร่ (Activation Energy for Diffusion)

การแพร่จะเกิดขึ้นได้เมื่อ อะตอมสามารถเคลื่อนที่ผ่านอะตอมที่ล้อมรอบอยู่ เพื่อไปยังตำแหน่งใหม่ ดังนั้นอะตอมที่จะแพร่จึงต้องมีพลังงานที่เพียงพอ

อะตอมเมื่อยูที่ตำแหน่งเดิมจะมีพลังงานต่ำอยู่ค่าหนึ่ง และจะเสถียร เมื่อต้องการให้อะตอมเคลื่อนที่ไปตำแหน่งใหม่ ต้องให้พลังงานมากกว่าอะตอม พลังงานที่ให้นี้ ต้องมากกว่าพลังงานเดิมของอะตอม หรือ เรียกอีกอย่างหนึ่งว่า พลังงานกระตุ้น (Activation Energy) โดยทั่วไปแล้วอะตอมแทรกจะต้องการพลังงานในการแพร่น้อยกว่า การแพร่แบบซองว่าง นอกจากนี้พลังงานกระตุ้นของวัสดุแต่ละชนิดยังมีค่า ไม่เท่ากัน เนื่องจากจุดหลอมเหลวที่แตกต่างกันอีกด้วย



รูปที่ 2.6 แสดงถึงการที่อะตอมจะแพร่ผ่านอะตอมข้างเคียงได้ต้องได้รับพลังงานที่เพียงพอ และ พลังงานที่ใช้ในการแพร่แบบแทรกจะน้อยกว่าการแพร่แบบช่องว่าง [3]

2.2.3 การคำนวณเกี่ยวกับการแพร่

1. กฎข้อที่ 1 ของ Fick (Fick's First Law)

เมื่อการแพร่เป็นแบบสถานะคงตัว (Steady State) กล่าวคือ ความเข้มข้นไม่ขึ้นกับเวลา เราสามารถทราบอัตราการแพร่ของอะตอมได้จากค่าฟลักซ์ (Flux, J) หรือนิยามให้ว่า คือ ค่าที่แสดงจำนวนอะตอมที่เคลื่อนที่ผ่านพื้นที่หน้าตัดหนึ่งต่อเวลา สามารถแสดงได้เป็นความสัมพันธ์ดังนี้

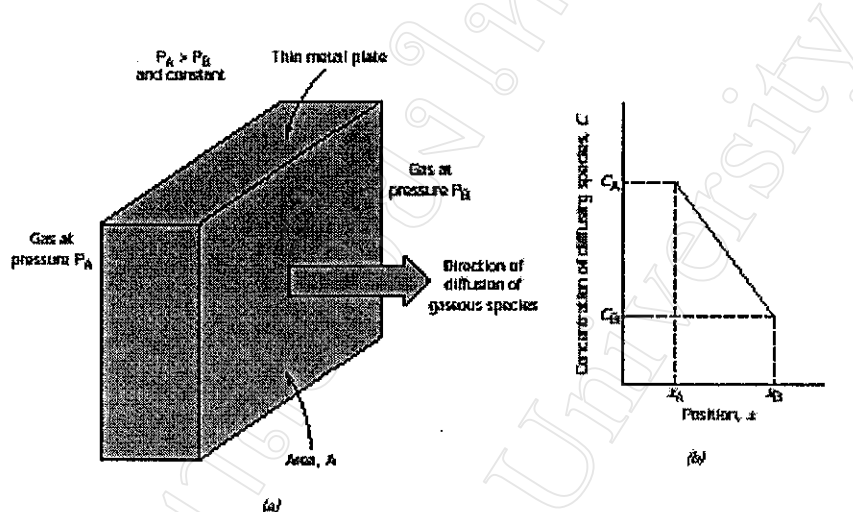
$$J = -D \frac{dc}{dx} \quad \dots\dots\dots (2.3)$$

เมื่อ J คือ ค่า ฟลักซ์ ($\text{atom} \cdot \text{m}^{-2} \cdot \text{s}^{-1}$)

D คือ ค่าคงที่ในการแพร่หรือ (Diffusion Coefficient) ($\text{m}^2 \cdot \text{s}^{-1}$)

dc/dx คือ ค่า concentration gradient ($\text{atom} \cdot \text{m}^{-3} \cdot \text{m}^{-1}$)

ค่า concentration gradient เป็นค่าที่แสดงว่า ความเข้มข้นจะเปลี่ยนแปลงตามระยะทาง โดยจะเกิดขึ้นได้เมื่อ นำรัศดุ 2 ชนิดที่ต่างกันมาต่อกัน หรือเมื่อของแข็งสัมผัสกับแก๊สหรือของเหลว นอกจากนี้ concentration gradient ยังสามารถเกิดในกรณีที่โครงสร้างของรัศดุไม่อยู่ในสภาพสมดุล เช่น อุญจาระระหว่างกระบวนการผลิต (Processing)



รูปที่ 2.7 (a) แสดงว่าถ้าจำนวนของตอมหนั่งเคลื่อนที่ผ่านพื้นที่หน้าตัดหนึ่งเราระเรียกว่า flux (b) แสดง concentration gradient [2]

2. กฎข้อที่ 2 ของ Fick (Fick's Second Law)

ในกรณีที่การแพร์ไม่อยู่ในสถานะคงตัว (non-steady state) หรือความเข้มข้นเปลี่ยนแปลงตามระยะทาง พบว่า พลักซ์ จะมีความสัมพันธ์กับ เวลา (t) โดยเป็นไปตามสมการความต่อเนื่อง (Equation of continuity) ดังนี้

$$\frac{dc}{dt} = - \frac{dJ}{dx} \quad \dots\dots\dots (2.4)$$

แทนค่าสมการ 2.3 ลงในสมการ 2.4 จะได้

$$\frac{dc}{dt} = \frac{d}{dx} D \frac{dc}{dx} \quad \dots\dots\dots (2.5)$$

หรือ

$$\frac{dc}{dt} = D \frac{d^2 c}{dx^2} \quad \dots \dots \dots (2.6)$$

การแก้สมการในกฎข้อที่ 2 ของ Fick มีผลลัพธ์

กรณีที่ 1 ถ้าแหล่งให้ความเข้มข้น (Source) มีลักษณะเป็นแผ่นบาง (thin film) ติดอยู่กับวัสดุที่ปลายด้านหนึ่งเมื่อปล่อยให้เวลาผ่านไป t พบรากурсพร้อมที่จะเป็นไปดังสมการ

$$c(x,t) = \frac{Q}{2\sqrt{\pi Dt}} \exp \left(-\frac{x^2}{4Dt} \right) \quad \dots \dots \dots (2.7)$$

- เมื่อ
- c คือ ความเข้มข้น (atom.m^{-3})
 - Q คือ จำนวนอะตอมที่เคลื่อนที่ผ่านพื้นที่หนึ่ง (atoms)
 - D คือ ค่าคงที่ในการแพร่หรือ (Diffusion Coefficient) ($\text{m}^2.\text{s}^{-1}$)
 - t คือ เวลา (s)
 - x คือ ระยะทางที่ห่างจากพื้นผิว (m)

กรณีที่ 2 ถ้าแหล่งให้ความเข้มข้นมีขนาดใหญ่มากหรือสามารถให้ความเข้มข้นที่คงที่ได้ จะได้สมการ

$$\frac{c - c_s}{c_0 - c_s} = \operatorname{erf} \frac{x}{2\sqrt{Dt}} \quad \dots \dots \dots (2.8)$$

เมื่อ $\operatorname{erf} z$ หมายถึง error function หรือ error integral of Gauss

$$\operatorname{erf} z = \frac{2}{\sqrt{\pi}} \int_0^z e^{-u^2} du \quad \dots \dots \dots (2.9)$$

ตารางที่ 2.2 แสดงค่า error function [2]

<i>z</i>	erf(<i>z</i>)	<i>z</i>	erf(<i>z</i>)	<i>z</i>	erf(<i>z</i>)
0	0	0.55	0.5633	1.3	0.9340
0.025	0.0282	0.60	0.6039	1.4	0.9523
0.05	0.0564	0.65	0.6420	1.5	0.9661
0.10	0.1125	0.70	0.6778	1.6	0.9763
0.15	0.1680	0.75	0.7112	1.7	0.9838
0.20	0.2227	0.80	0.7421	1.8	0.9891
0.25	0.2763	0.85	0.7707	1.9	0.9928
0.30	0.3286	0.90	0.7970	2.0	0.9953
0.35	0.3794	0.95	0.8209	2.2	0.9981
0.40	0.4284	1.0	0.8427	2.4	0.9993
0.45	0.4755	1.1	0.8802	2.6	0.9998
0.50	0.5205	1.2	0.9103	2.8	0.9999

2.2.4 ผลของอุณหภูมิที่มีต่อค่า Diffusion Coefficient

ค่า Diffusion Coefficient จะมีความสัมพันธ์กับอุณหภูมิเป็นไปตามสมการของ Arrhenius ดังนี้

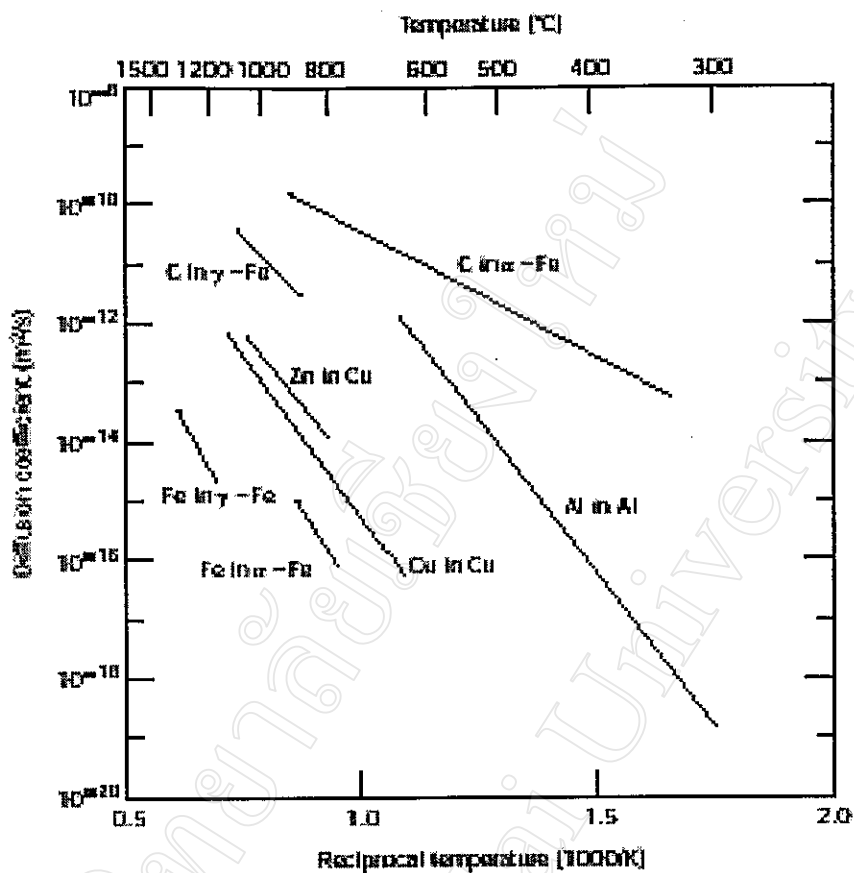
$$D = D_0 \exp -\frac{Q}{RT} \quad \dots\dots\dots (2.10)$$

เมื่อ Q คือ ค่าพลังงานกระตุ้น (Activation Energy) ($\text{J}\cdot\text{mol}^{-1}$)

R คือ ค่าคงที่ของแก๊ส ($8.314 \text{ J}\cdot\text{mol}^{-1}\cdot\text{K}^{-1}$)

T คือ อุณหภูมิ (K)

D_0 คือ ค่า Diffusion Coefficient ของระบบ ($\text{m}^2\cdot\text{s}^{-1}$)



รูปที่ 2.8 แสดงค่า Diffusion Coefficient ของโลหะซึ่งจะเพิ่มขึ้นเมื่ออุณหภูมิเพิ่มขึ้น [2]

2.3 เทคนิคการเคลือบผิว (Coating Deposition Techniques) [6]

ในหลายปีที่ผ่านมาได้มีการพัฒนาเทคนิคในการเคลือบผิว โดยเน้นไปที่ประสิทธิภาพ และการลดค่าใช้จ่าย ซึ่งเทคนิคการเคลือบผิวนิยมทำกันมาก ก็คือ เทคนิคการเคลือบผิวด้วยไอ (Vapor deposition) โดยสารที่จะใช้เคลือบจะอยู่ในรูปของไอ สามารถประยุกต์ใช้กับพื้นผิวได้เกือบทุกชนิด สารเคลือบที่ได้จะมีความบริสุทธิ์สูง, ยืด Georges กับขั้นงานได้ดี โดยเทคนิคแบบ vapor deposition นี้มี 2 แบบหลัก ๆ คือ

2.3.1 PVD (Physical Vapor Deposition)

เทคนิคการเคลือบผิวแบบ PVD เป็นการเคลือบโดยทำให้อัตราของสาร เคลือบเป็นแผ่นฟิล์มไปบนพื้นผิวของสารตัวอย่าง โดยอาศัยความเป็นสุญญากาศที่สูง (10^{-6} to 10^{-8} Pa) และสามารถสร้างฟิล์มบางได้มีความหนาประมาณ 10^{-7} - 10^{-4} m การเคลือบผิวแบบ PVD นี้ จะมีหลายวิธีด้วยกัน เช่น evaporation, Ion plating, Ion sputtering, Implantation ซึ่งแต่ละวิธีก็จะให้สมบัติของฟิล์มที่ต่างกัน

Evaporation

วิธีนี้ใช้ของสารเคลือบจะถูกสร้างจากการให้ความร้อนยังสารที่ต้องการเคลือบ (ประมาณ $1000 - 2000$ °C) และต้องอยู่ภายใต้ความดันประมาณ $10^{-6} - 1$ Pa เมื่อสารถูกให้ความร้อนจนกลายเป็นไอ ความดันก็จะสูงกว่าความดันล้อมรอบ ทำให้สามารถเกิดการควบแน่นที่ผิวสารตัวอย่างได้ และขณะเดียวกัน ก็จะต้องให้ความร้อนแก่สารตัวอย่าง ($200 - 1600$ °C) เพื่อเพิ่มประสิทธิภาพในการเกาติดและได้โครงสร้างของสารเคลือบที่เหมาะสม ในการประยุกต์ใช้งานบางครั้ง ก็มีการทำให้ไอของสารอยู่ในรูปของพลาสม่า โดยทำให้ไอเกิดการแตกตัวเป็นไออ่อน แล้วไปเคลือบบนผิว เราเรียกวิธีนี้ว่า Activated reactive evaporation (ARE) ซึ่งกระบวนการนี้จะช่วยเพิ่มการยึดเกาะที่ดีและสมบัติเชิงกล บางกรณีสารเคลือบอาจมีจุดหลอมเหลวที่สูงมาก ดังนั้นจึงต้องมีการให้ความร้อนด้วยวิธี ion beam ซึ่งสามารถให้ความร้อนได้ถึง 3500 °C

เทคนิคการเคลือบแบบ evaporation นี้ ง่ายและค่าใช้จ่ายไม่สูงมาก สามารถให้อัตราการเคลือบได้ถึง $25 \text{ } \mu\text{m}.\text{min}^{-1}$ นอกจากนี้ยังสามารถสร้างความหนาได้ถึง 1 mm อย่างไรก็ตาม การยึดเกาะของสารเคลือบยังไม่ดีนัก จึงทำให้ไม่เหมาะสมสำหรับการประยุกต์ใช้ทางด้าน Tribology

Ion Plating

กระบวนการวิธี Ion plating นี้สามารถแบ่งได้เป็น 2 ลักษณะใหญ่คือ glow-discharge(plasma) ion plating ซึ่งจะทำที่ความดันต่ำ ($0.5 - 10 \text{ Pa}$) และ ion beam ion plating ทำที่ความดันต่ำมาก ($10^{-5} - 10^{-2} \text{ Pa}$)

ในกระบวนการ glow-discharge ion plating หลักการจะคล้ายกับกระบวนการ evaporation แต่จะมีกลุ่มแก๊สในรูปของ glow discharge เป็นตัวกลางระหว่าง สารเคลือบและ สารตัวอย่าง ดังนั้นเมื่อสารเคลือบระเหยผ่านมาอย่างบริเวณนี้ ก็จะแตกตัวเป็นไอออน ในกรณีที่สารตัวอย่าง ไอออนที่แตกตัวนี้จะต้องอาศัย ความต่างศักย์ที่เกิดขึ้นจากการต่อข้าวที่ สารตัวอย่าง ($2 - 5 \text{ kV}$) ในกรณีที่สารตัวอย่างมีสมบัติเป็นอนุน ความต่างศักย์ที่ให้จะเป็นแบบ radio frequency potential

สำหรับกระบวนการ ion beam ion plating แหล่งของไอออนที่ใช้เคลือบจะมาจากภายนอก และไอออนที่ใช้เป็นได้ทั้งแก๊ส惰性 หรือสารที่ต้องการเคลือบ ที่สำคัญคือแผ่นสารตั้งต้นต้อง สามารถทนต่อลำไอนอนที่มาตกระบทได้

ข้อดีของการเคลือบวิธีนี้ คือการยึดเกาะของสารเคลือบกับสารตัวอย่างจะดีมาก อย่างไรก็ตามอัตราการเคลือบจะต่ำ

Sputtering

เทคนิคการเคลือบแบบ sputter นี้ เป็นวิธีที่นิยมมากที่สุด มีหลักการคือ สารเคลือบที่อยู่ในรูป ของแข็ง หรือเรียกว่า Target จะถูกกระตุ้นให้หลุดออกออกจากผิวเป็น อนุภาค โดยอนุภาคที่เป็นไอออนนวนจากนั้นอนุภาคนั้นของสารเคลือบที่หลุดออกโดยเป็นไอจะไป ตกกระทบที่สารตัวอย่างเกิดเป็นแผ่นฟิล์มขึ้นมา กระบวนการที่ใช้สร้างอนุภาคกระทุ้น คือ glow-discharge ionization ต้องใช้ความดัน $0.5 - 10 \text{ Pa}$ และใช้พลังงาน $100 \text{ eV} - 1000 \text{ eV}$ ในการ สร้างหรือ ได้จาก ion beam ที่ได้จากแหล่งภายนอก และต้องมีความดัน $10^{-5} - 10^{-2} \text{ Pa}$ ให้พลังงาน $100 \text{ eV} \text{ ถึง } 10 \text{ keV}$ เมื่อสารตัวอย่างถูกกระทุ้นให้ออนุภาคหลุดออกมานั้นจะมีพลังงานประมาณ $10 \text{ eV} - 40 \text{ eV}$

เทคนิค sputter นี้เป็นวิธีเดียวที่สร้างไอของสารเคลือบด้วยกระบวนการเชิงกล ซึ่งวิธีอื่นจะอาศัยกระบวนการทางเคมีหรือความร้อน ดังนั้นจึงสามารถใช้กับสารเคลือบได้ทุกชนิด

2.3.2 CVD (Chemical Vapor Deposition)

เทคนิค CVD นี้มีหลักการคล้ายกับ PVD แต่จะต่างกันตรงที่ไอของสารเคลือบ ซึ่งอาจมีมากกว่า 1 ตัวจะทำปฏิกิริยาทางเคมี ก่อนแล้วจึงเกิดเป็นสารประกอบไปเคลือบที่ผิวของสารตัวอย่าง อุณหภูมิที่ใช้จะอยู่ในช่วง $150 - 2200^{\circ}\text{C}$ ความดันที่ใช้อยู่ในช่วง 65 Pa ถึงความดันบรรยากาศ (0.1Mpa)

เนื่องจากเทคนิค CVD นี้ ใช้ความดันที่ต่ำ ดังนั้นผิวที่เคลือบจึงมีคุณสมบัติและคุณภาพที่ดี และยังอัตราการเคลือบที่สูง การยึดเกาะของผิวเคลือบที่ดีมาก แต่อย่างไรก็ตามเทคนิค CVD นี้มีข้อเสียคือ สารตัวอย่างต้องมีความทนต่ออุณหภูมิได้ดี เพราะโครงสร้างของสารตัวอย่างอาจเปลี่ยนแปลงได้ในระหว่างกระบวนการนี้

2.4 การทดสอบความแข็ง (Hardness Test) [3,7]

ความแข็งเป็นตัวบ่งชี้ที่สำคัญตัวหนึ่งทางวิศวกรรมด้านโลหะหรือโลหะผสม ค่าความแข็งของโลหะจะมีความสัมพันธ์กับสมบัติอื่น ๆ ของโลหะ เช่น ความเค้นสูงสุด (Tensile strength), ความทนทานต่อการลอกหรือ (Wear resistance), การทำให้แข็ง (Hardening) ดังนั้น การทดสอบความแข็งนั้นจะมีความสำคัญในการพิจารณาลักษณะของโลหะโดยเฉพาะงานในด้าน เคลือบผิวหรืออบ – ชุบแข็ง เพื่อใช้เป็นมาตรฐานในการยอมรับหรือคัดถังชิ้นงาน

2.4.1 การวัดความแข็งแบบโมส์ (Moh's scale of hardness)

การวัดความแข็งแบบโมส์ เป็นการวัดความแข็งโดยทำให้เกิดรอยบนโลหะสามารถ ทำได้เร็วและได้ผล สเกลความแข็งจะประกอบด้วยแร่มาตรฐาน 10 ชนิด เรียงลำดับความแข็งจาก น้อยไปมาก คือ

- | | |
|-------------|---------------|
| 1. Talc | 6. Orthoclase |
| 2. Gypsum | 7. Quartz |
| 3. Calcite | 8. Topaz |
| 4. Fluorite | 9. Corundum |
| 5. Apatite | 10. Diamond |

ถ้าโลหะชนิดหนึ่งถูกทำให้เกิดรอยโดย Apatite และ Fluorite ไม่ทำให้เกิดรอย ค่าความแข็งของโลหะนั้นจะมีค่าระหว่าง 4 และ 5 เป็นต้น อย่างไรก็ตาม สเกลความแข็งของโมส์มีข้อเสีย คือ ช่วงความห่างของสเกลมีค่าไม่เท่ากัน

2.4.2 การทดสอบความแข็งแบบบรินอล (Brinell hardness test)

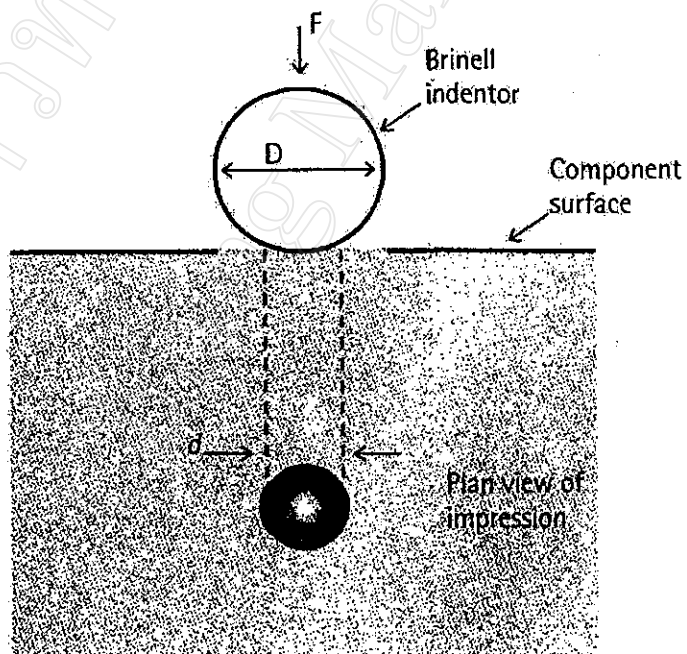
ในปี ค.ศ. 1900 ด็อกเตอร์ J.A. Brinell ชาวสวีเดน ได้ค้นคว้าการวัดความแข็งของโลหะ พบว่า สามารถที่จะหาค่าความแข็งได้โดยการวัดขนาดของรอยกดที่เกิดจากหัวดับเบลเล็กที่กดลงบนโลหะด้วยน้ำหนักที่คงที่ค่านึง ข้อดีของการทดสอบความแข็งด้วยวิธีนี้คือ ไม่ต้องมีการ เปรียบเทียบความแข็งของโลหะที่ต้องการวัด

หัวกดและน้ำหนัก

หัวกดที่ใช้กับเครื่องวัดความแข็งแบบบริเนล เป็นลูกบอลขนาดเส้นผ่าศูนย์กลาง 5 หรือ 10 mm ซึ่งหัวกดมาตรฐานสามารถจำแนกได้ 3 ประเภทคือ

1. แบบลูกบอลมาตรฐานทำจากเหล็กกล้าคาร์บอนเปอร์เซนต์สูง
2. แบบลูกบอลทำจากเหล็กกล้าคาร์บอนเปอร์เซนต์สูงและผ่านการชุบแข็ง
3. แบบลูกบอลทำจากทังสเตนคาร์ไบด์ (Tungsten carbide)

เมื่อหัวกดจมลงในชิ้นตัวอย่าง หัวบลอกดอาจจะเกิดการเปลี่ยนรูปซึ่งขึ้นอยู่กับความแข็งของชิ้นตัวอย่างและยังขึ้นอยู่กับน้ำหนักที่ใช้แก่หัวกดด้วย โดยที่มีค่าความแข็งเกินกว่า 525 สเกลบริเนล ก็จะเกิดการแปรรูปขึ้นในหัวกดแบบใดแบบหนึ่งได้ ค่าความแข็งที่ได้จะผิดพลาด ซึ่งค่าความแข็ง 525 อาจสูงไดถึง 600 สเกลบริเนลเมื่อใช้หัวกดประเภทที่สอง และอาจจะถึง 725 บริเนลไดเมื่อใช้หัวกดแบบที่สาม เพื่อที่จะลดข้อเดียนี้ น้ำหนักที่ใช้กดควรจะปรับให้ได้จนเส้นผ่าศูนย์กลางของร้อยกัมมีค่า 25- 80 % ของเส้นผ่าศูนย์กลางหัวกด



รูปที่ 2.9 แสดงการกดวัดแบบบริเนล [3]

หลักการ

หลักการของเครื่องบวินเลขอูที่ว่าหัวกดมีขนาดต่างกัน แต่มีรูปทรงของรอยกดเหมือนกัน จะมีสัดส่วนของเส้นผ่าศูนย์กลางที่จะทำให้ได้ค่าความแข็งเท่ากัน โดยน้ำหนักที่ใช้จะเป็นสัดส่วนกับกำลังสองของเส้นผ่าศูนย์กลางของลูกบบล

$$P = 30D^2 \text{ สำหรับเหล็กและเหล็กกล้า}$$

$$P = 5D^2 \text{ สำหรับทองเหลือง บรอนซ์ และโลหะตระกูลอื่นที่ไม่ใช่เหล็ก}$$

เมื่อ P คือ น้ำหนักที่กระทำ (Kg)

D คือ เส้นผ่าศูนย์กลางของหัวกดบล (mm)

ค่าความแข็งของบวินมีหน่วยเป็นกิโลกรัมต่อตารางมิลลิเมตร (kg.mm^{-2}) ซึ่งจะมีค่าเท่ากับ น้ำหนักหน่วยกิโลกรัมหารด้วยพื้นที่ผิวทรงกลมของรอยกดหารด้วยตารางมิลลิเมตร ดังนี้จะได้ว่า

$$\text{ค่าความแข็งบวิน} = \frac{P}{A} \quad \dots\dots\dots (2.11)$$

เมื่อ P เท่ากับ น้ำหนักที่ให้ (kg)

A เท่ากับ พื้นที่ของรอยกด (mm^2)

พื้นที่ผิวของรอยกดที่เกิดจากหัวกดบลสามารถคำนวณให้อยู่ในเทอมของ D ได้โดยให้เส้นผ่าศูนย์กลางของรอยกดเท่ากับ D , และพื้นที่ผิวของรอยกดระหว่างระนาบของเส้นผ่าศูนย์

กลาง D และระนาบของเส้นผ่าศูนย์กลาง D , มีค่าเท่ากับ $\frac{\pi D \sqrt{D^2 - D_1^2}}{2}$ และพื้นที่ผิวครึ่งวงกลมของหัวกดบลมีค่าเท่ากับ $\frac{\pi D^2}{2}$ เพราะฉะนั้นพื้นที่ผิวของรอยกดมีค่าเท่ากับผลต่างของพื้น

ที่ผิวครึ่งวงกลมกับพื้นที่ผิวระหว่างระนาบ D และ D_1 ในรอยกด

$$\text{พื้นที่ผิวของรอยกด} = \frac{\pi D^2}{2} - \frac{\pi D \sqrt{D^2 - D_1^2}}{2} \quad \dots\dots\dots (2.12)$$

- เมื่อ D เท่ากับ เส้นผ่าศูนย์กลางของหัวกดบอร์ด
 D_1 เท่ากับ เส้นผ่าศูนย์กลางของรอยกด

นำสมการพื้นที่ผิวของรอยกด ไปแทนค่าสมการที่ (2.11) จะได้

$$\text{ค่าความแข็งบิรินเดล} = \frac{P}{\frac{\pi D(D - \sqrt{D^2 - D_1^2})}{2}} \quad \dots \dots \dots (2.13)$$

$$\text{หรือ} = \frac{2P}{\pi D(D - \sqrt{D^2 - D_1^2})} \quad \dots \dots \dots (2.14)$$

การเตรียมผิวทดสอบ

ผิวของชิ้นงานต้องย่างซึ่งจะทำการตรวจวัดจะต้องเรียบและปราศจากรอยต่าง ๆ รวมทั้ง สนิมและออกไซด์ด้วย การตะปุ่นและการขัดอย่างละเอียดก็เพียงพอแล้ว สำรวจขัดเงาไม่จำเป็น ต้องใช้ในการวัดแบบบิรินเดลนี้ ที่สำคัญคือต้องระวังเรื่องของการออกไซด์ตรงบริเวณที่จะวัด ในการวัด ความแข็งของโลหะจะต้องขัดให้เรียบก่อน

2.4.3 การทดสอบความแข็งแบบอาร์มสตรอง – วิคเกอร์ (The armstrong – vicker hardness test)

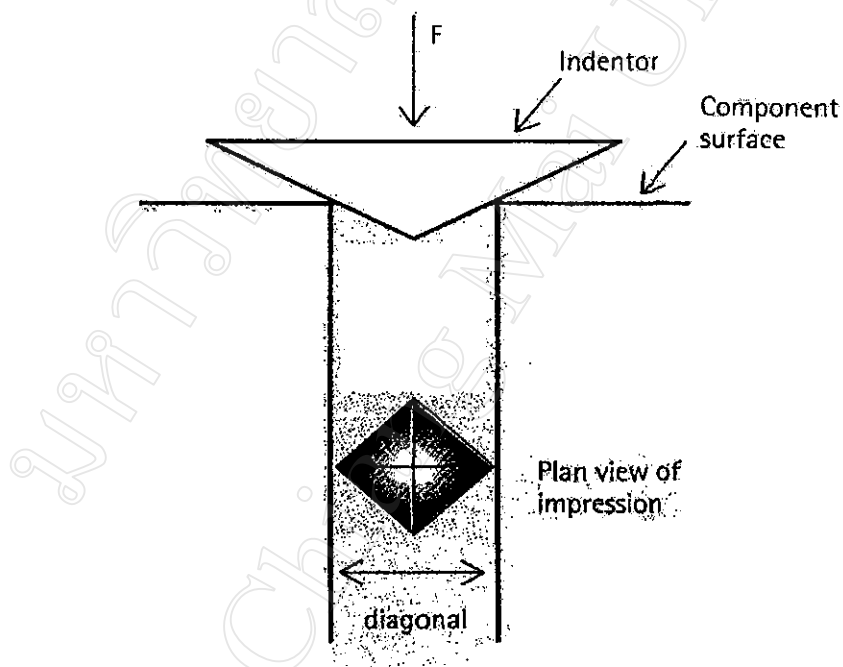
การวัดความแข็งแบบอาร์มสตรอง – วิคเกอร์ หรือเรียกว่า วิคเกอร์ จึงสามารถปรับความกว้างของรอยกดได้โดยปรับ น้ำหนักที่ใช้ให้เหมาะสม ดังนั้นจึงสามารถนำไปวัดโลหะที่มีขนาดบางและมีความแข็งที่ผิวสูง ๆ ได้ การวัดความแข็งแบบวิคเกอร์มีหลักการคล้ายคลึงกับการวัดแบบบิรินเดล

หลักการทำงานของเครื่องวัดจะเป็นแบบกึ่งอัตโนมัติ คือหลังจากที่หัวกดสัมผัสกับชิ้นงานตัวอย่างแล้ว น้ำหนักที่ตั้งค่าไว้ก็จะกระทำลงไปในช่วงเวลาหนึ่ง หลังจากนั้นน้ำหนักจะถูกยกออกโดยอัตโนมัติ หลังจากที่รอยกดเกิดบนชิ้นงานตัวอย่างแล้ว ก็จะต้องวัดขนาดของรอยกดโดย ไม่จำเป็นต้องนำชิ้นงานออกจากแท่นวัด และเลื่อนให้รอยกดอยู่ตรงตำแหน่งกับกล้องวัดขนาดที่ติดอยู่ทางด้านข้างของเครื่องวัด

หัวกดและน้ำหนัก

หัวกดแบบวิคเกอร์ทำด้วยเพชรรูปปริมาณิตฐานสี่เหลี่ยมจัตุรัสและมีมุมระหว่างด้าน 136 องศา เนื่องจากรูปร่างที่แผ่นอนของหัวกด ดังนั้น ค่าความแข็งวิคเกอร์คือ ค่าความแข็งที่ได้จากการหัวกดเพชรปริมาณิต โดยใช้หลักการเดียวกับการวัดแบบบริเนล และส่วนสัดของค่าความแข็งมีค่าใกล้เคียงกับบริเนล โดยเฉพาะที่ค่าความแข็งสูง ๆ ในทางปฏิบัติค่าความแข็งทั้งแบบบริเนลและวิคเกอร์จะมีค่าเดียวกันจนถึงค่าความแข็งที่ 300 บริเนล ที่ค่าความแข็งสูงกว่านี้ความแข็งจะเริ่มแตกต่างกัน และจะมากขึ้นจนเห็นได้ชัด ที่ค่า 600 บริเนล

ค่าความแข็งที่แตกต่างกันนี้เนื่องจากเกิดการเปลี่ยนรูปของหัวกดบด แต่ในส่วนของวิคเกอร์ ค่าความแข็งยังเป็นสัดส่วนแบบเส้นตรงต่อไปอีก เพราะหัวกดเพชรที่ไม่เปลี่ยนรูป ดังนั้นในทางปฏิบัติจึงใช้วิธีการวัดแบบวิคเกอร์ในการนีที่วัสดุมีความแข็งสูงกว่า 600 บริเนล



รูปที่ 2.10 แสดงการกดแบบวิคเกอร์ [3]

วิธีการวัดรอยกด

ในการหาความแข็งแบบวิคเกอร์จะต้องทำการวัดความยาวของเส้นทแยงมุมทั้ง 2 ของรอยกดที่เกิดจากหัวกด แล้วจึงหาค่าเฉลี่ย การวัดความยาวแต่ละด้านนี้ต้องวัดด้วยความแม่นยำโดยจะใช้กล้องที่ติดกับเครื่องวัดและสามารถอ่านค่าได้ละเอียด 0.001 มิลลิเมตร

ค่าความแข็งวิคเกอร์จะเท่ากับ น้ำหนักที่กระทำหารด้วยพื้นที่ผิวของรอยกดรูปปิรามิดดังนี้

$$\text{ค่าความแข็งวิคเกอร์} = \frac{P}{A} \quad \dots \dots \dots (2.15)$$

เมื่อ P คือ น้ำหนักที่กระทำ (kg)

A คือ พื้นที่ผิวด้านข้างของรูปปิรามิด (mm^2)

พื้นที่ผิวด้านข้างของรอยกดมีค่าเท่ากับ

$$A = 2aS$$

S เท่ากับ ความสูงด้านเอียง

a เท่ากับ ความยาวฐานปิรามิด

เส้นทแยงมุมและความยาวของฐานมีความสัมพันธ์กันดังนี้

$$D^2 = 2a^2 \quad \text{หรือ} \quad a = \frac{D}{\sqrt{2}} \quad \dots \dots \dots (2.16)$$

ดังนั้น

$$A = \frac{2DS}{\sqrt{2}} \quad \dots \dots \dots (2.17)$$

มุณะหว่างด้านตรงข้ามของรอยกดมีค่าเท่ากับมุณะหว่างด้านตรงข้ามของหัวกดเข่นกันคือเท่ากับ 136° ดังนั้นความความสูงด้านเอียง อาจเขียนได้ว่า

$$S = \frac{\frac{a}{2}}{\sin 68^\circ} \quad \text{หรือ} \quad \frac{\frac{D}{2\sqrt{2}}}{\sin 68^\circ} \quad \dots \dots \dots (2.18)$$

$$\text{แทนค่า } S \text{ ลงในสมการที่ 2.17 จะได้ } A = \frac{D^2}{2 \sin 68^\circ} \quad \dots \dots \dots (2.19)$$

เมื่อแทนค่า A ลงในสมการ P/A จะได้

$$VHN = 1.854 \frac{P}{D^2} \quad \dots \dots \dots (2.20)$$

เมื่อ VHN คือ ค่าความแข็งวิคเกอร์

P คือ ค่าน้ำหนักที่กระทำ

D คือ ความยาวของเส้นที่แนบมุนของรอยกดvuปสีเหลี่ยมจัตุรัส

ในทางปฏิบัติ ค่าความแข็งวิคเกอร์จะสัมพันธ์โดยตรงกับค่าเฉลี่ยของเส้นที่แนบมุน

การเตรียมผิวทดสอบ

เนื่องจากรอยกดมีขนาดเล็กมาก จำเป็นที่ผิwtต้องต้องเรียบไม่มีรอยขีดข่วนใด ๆ และต้องปราศจากสนิม การผิwtต้องทำเท่าที่จะทำได้ทุกครั้ง และที่สำคัญ ค่าความแข็งวัดได้จากจุด ๆเดียวไม่ใช่ความแข็งของทั้งชิ้นงาน ควรจะทำการวัดมากกว่า 2 จุดไป ด้วยน้ำหนักที่ต่างกัน ผลที่ได้คือ สามารถตรวจสอบความถูกต้องของอุปกรณ์ได้

2.4.4 การทดสอบความแข็งแบบร็อกเวล (Rockwell hardness test)

การวัดความแข็งของโลหะสามารถอกได้โดยความแตกต่างของความลึก แต่การวัดแบบนี้เป็นการวัดการเพิ่มของความลึกของหัวกด ที่กระทำลงบนชิ้นงานด้วยน้ำหนักชั้นแรกและชั้นที่สอง

เครื่องวัดความแข็งแบบร็อกเวลนี้สามารถอ่านค่าความแข็งได้โดยตรง เครื่องวัดความแข็งชนิดนี้จะต้องสร้างด้วยความแม่นอนทั้งขนาดของน้ำหนัก และระดับซึ่งสามารถทำการวัดการเพิ่มของรอยกดได้อย่างถูกต้อง เมื่อมีน้ำหนักต่างค่ากระทำ โดยน้ำหนักค่าแรกมีค่า 10 kg คงที่ ส่วนน้ำหนักค่าหลังจะมีค่า 60, 100, 150 kg ทั้งนี้ขึ้นกับชนิดหัวกดด้วย

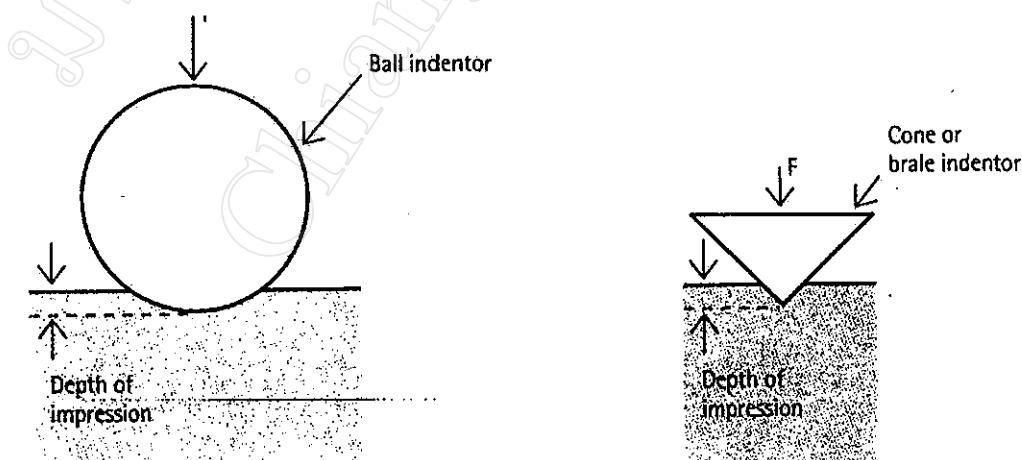
หัวกด

หัวกดที่ใช้ในเครื่องวัดความแข็งแบบเบรลล์คือเวลเมิลลายชันด แต่มาตรฐานจะมีอยู่ 2 แบบ คือ หัวกดลูกบอลเหล็กขนาดเส้นผ่าศูนย์กลาง 1/16 นิ้ว (Steel Ball) ซึ่งเป็นแบบ บี – สเกล และ อีกแบบเป็นหัวกดแบบเพชรรูปกรวย ซึ่งเป็นแบบ ซี – สเกล หรือแบบ เบรล (Brale)

การทำงานของหัวกดแบบบอลเหล็กที่เหมาะสมอยู่ในช่วงความแข็ง 0 ถึง 100 ร้อคเวล บี (HRB) ถ้าโดยจะมีความแข็งมากกว่า 100 HRB จะทำให้หัวกดเกิดการเปลี่ยนรูป เกิดความผิดพลาดในการวัด ถึงแม้ว่าหัวกดจะไม่เปลี่ยนรูป ก็ไม่เหมาะสมที่จะใช้วัดความแข็งสูง ๆ เนื่องจาก หัวกดที่เป็นทรงกลมจะขาดความไวในการวัดความแตกต่างของความแข็งที่ค่าต่างกันน้อย สรุนหัว กดแบบเบรล ทำจากเพชรรูปกรวยกลม มุมของกรวยจะเท่ากับ 120° ปลายบนของหัวเป็นทรง กลม มีรัศมีจุดตัดเท่ากับ 0.200 mm

ช่วงใช้งานของหัวกดแบบเบรล ในการวัดความแข็งแบบเบรลล์ (HRC) อยู่ในช่วง 20 (เทียบเท่ากับ 97 HRB) ถึง 70 HRC หรืออาจมากกว่าเล็กน้อย หัวกดแบบเบรลไม่ควรจะใช้วัด ความแข็งของโลหะที่มีค่าต่ำกว่า 20 HRC ด้วยเหตุผลที่ว่าจะเกิดความผิดพลาดที่ค่าความแข็งต่ำ ๆ เพราะว่าค่าความผิดพลาดสัมพันธ์กับร่องรอยของเข็มวัดเพชรที่ไม่แน่นอนของโรงงานผลิต โรงงานจะไม่สามารถตรวจสอบหัววัดให้ได้แน่นอนกับความลึกที่จะสมดุลกับความแข็งที่ 20 HRC

นอกจากหัวกดทั้งสองแบบแล้ว ยังได้มีการใช้ หัวกดบอลที่มีขนาดใหญ่กว่านี้อีก มาก ถูก 1/2 นิ้ว หัวนี้เพื่อใช้สำหรับวัดโลหะที่อ่อนจนไม่สามารถใช้หัวกดสองแบบแรกได้ หัวกดที่มี ขนาดใหญ่นี้เหมาะสมในการวัดความแข็งของโลหะพอกโลหะไม่คีนรูป เช่นพลาสติกหล่อ



รูปที่ 2.11 แสดงการกดวัดแบบเบรลล์ [3]

การเตรียมผิวทดสอบ

เพื่อที่จะให้ได้รอยกดเกิดบนผิวงานที่ดี เมื่อใช้หัวกดทั้งแบบหัวบล็อกหรือแบบเบжал ผิวของตัวอย่างต้องเรียบและสม่ำเสมอ การขัดผิวเป็นสิ่งจำเป็นเพื่อให้ได้ค่าความแข็งที่ถูกต้อง สิ่งที่ปกติที่แข็งหรือสนิมที่ติดอยู่ที่ชิ้นงานทดสอบ จะทำให้เกิดค่าความแข็งที่คลาดเคลื่อนไป

2.4.5 การทดสอบความแข็งแบบนูป (Knoop Hardness Test)

เครื่องวัดความแข็งแบบนูป (Knoop) เป็นเครื่องวัดชนิดพิเศษใช้ในการวัดความแข็งของวัสดุที่มีขนาดเล็ก หรือบางมาก รวมทั้งผิวที่ผ่านการเคลือบผิว เช่น คาร์บูไรซิ่ง (Carburizing), ไนโตรได้ริด (Nitridizing) นอกจากนี้ยังสามารถนำไปประยุกต์ใช้ในการวัดความแข็งของโครงสร้างภายในโลหะผสม โดยความลึกของรอยกดที่ได้จะมีค่าไม่เกิน 1 μm.

เครื่องวัดความแข็งแบบนูป เป็นเครื่องมือที่สร้างขึ้นให้มีน้ำหนักและการทำงานที่แน่นอน การทำงานเป็นไปอย่างอัตโนมัติซึ่งควบคุมด้วยระบบอิเลคทรอนิก ยกเว้นการวัดขนาดของรอยกดที่เกิดจากหัวกด หลักการทำงานของเครื่องจะคล้ายคลึงกับเครื่องวัดความแข็งแบบบริคเกอร์

หัวกดและน้ำหนักที่ใช้

หัวกดแบบมาตรฐานจะเป็นหัวเพชรรูปปิรามิด มีมุมตามขวา 130° มุมตามขวา 172° 30' (มุมทั้งสองเกิดจากระนาบทั้งสี่ด้านตัดกัน) รอยกดที่เกิดจากหัวกด จะเป็นรูปสี่เหลี่ยมขนมเปียกปูนมีเส้นทแยงมุมตั้งฉากกัน ความยาวของเส้นทแยงมุมหนึ่งยาวเป็น 7 เท่าของอีกเส้น ความลึกของรอยกดมีค่าประมาณ 1 ส่วน 30 ของเส้นทแยงมุมเส้นยาว อย่างไรก็ตาม ใน การทดสอบความแข็งทุกชนิด จะมีการคืนรูปบางส่วนของรอยกดที่เกิดจากหัวกดหลังจากที่ปลดน้ำหนักออก การคืนรูปนี้จะมากน้อยขึ้นกับขนาดและรูปร่างของหัวกด เนื่องจากหัวกดของนูปทำให้เกิดการคืนรูปทางด้านขวา มากกว่าทางด้านขวา ผลที่เกิดก็คือ ค่าความยาวของเส้นทแยงมุมที่ยาว มีค่าใกล้เคียงกับค่าคงที่ของหัวกด และจะมีค่าใกล้เคียงกับความยาวจริงก่อนคืนรูป

วิธีวัดรอยกด

ค่าความแข็งของนูปจะเท่ากับน้ำหนักที่ให้หารด้วยพื้นที่ของรอยกดก่อนคืนรูป ดังนั้น

$$\text{ค่าความแข็งของนูป} = \frac{P}{A} \quad \dots\dots\dots (2.21)$$

เมื่อ P เท่ากับ น้ำหนักที่กระทำ (kg)

A เท่ากับ พื้นที่ของรอยกด (mm^2)

โดย

$$A = \frac{DL}{2} \quad \dots\dots\dots (2.22)$$

D เท่ากับ ความยาวของเส้นที่แยงมุมด้านขวา (ลิ้น)

L เท่ากับ ความยาวของเส้นที่แยงมุมด้านขวา (ยาว)

เนื่องจากพื้นที่ของรอยกด จะมีค่าใกล้เคียงความจริงมากที่สุด เมื่อทำการวัดเส้นที่แยงมุมด้านที่ยาวกว่าก่อนคืนรูป (L) แทนการวัดด้านที่สั้นกว่า ดังนั้นเราจำเป็นที่จะต้องเขียนสมการของพื้นที่รอยกด ให้อยู่ในเทอมของเส้นที่แยงมุมที่ยาว รูปของการกดวัดแบบนูปจะเหมือนกับการกดวัดแบบวิกเกอร์แต่เปลี่ยนจากหัวกดที่เป็นสี่เหลี่ยมจตุรัสเป็นสี่เหลี่ยมขนมเปียกปูน

จากมุมในแนวขวาและในแนวยาวมีค่า 130° และ $172^\circ 30'$ ตามลำดับ จะได้ความสัมพันธ์ของเส้นที่แยงมุมทั้งสองคือ

$$\frac{\tan 65^\circ}{D} = \frac{\tan 86^\circ 15'}{L} \quad \dots\dots\dots (2.23)$$

แทนค่า $\tan 65^\circ$ และ $\tan 86^\circ 15'$ จะได้ว่า

$$L = 7.114D \quad \text{หรือ} \quad D = 0.14056L \quad \dots\dots\dots (2.24)$$

แทนค่า D ลงในสมการ 2.22 จะได้

$$A = \frac{0.14056 L^2}{2} = 0.07028 L^2 \quad \dots\dots\dots (2.25)$$

แทนค่าพื้นที่ A ลงในสมการ 2.21 จะได้สมการความแข็งนูป

$$KHN = \frac{P}{0.07028 L^2} = 14.2 \frac{P}{L^2} \quad \dots\dots\dots (2.26)$$

ดังนั้นค่าความแข็งของนูปจะซึ่นอยู่กับความยาวของเส้นที่เยงมุนตามยาว และในการรายงานผลการวัดความแข็ง จำเป็นที่จะต้องบอกถึง น้ำหนักที่ให้แก่หัวกด

การเตรียมผิวทดสอบ

รอยกดที่เกิดจากหัวกดแบบนูปโดยเฉพาะที่น้ำหนักน้อยจะมีขนาดเล็กมาก ดังนั้นชิ้นงานตัวอย่างจะต้องถูกเตรียมให้สมบูรณ์ที่สุด โดยเฉพาะรอยขีดข่วนและสนิมต่าง ๆ

2.5 การสึกหรอของโลหะ (Wear of metals) [8]

การสึกหรือคือ ความเสียหายของพื้นผิวหรือการหลุดออกไปของเนื้อวัสดุที่เกิดจากการสัมผัสถกันของวัสดุ 2 ชนิด ภายใต้แรงค่าหนึ่ง ซึ่งวัสดุอาจเป็นชนิดเดียวกันหรือคนละชนิดก็ได้ โดยลักษณะที่สัมผัสถกันอาจเป็นแบบการเสียดสี, การกระแทก การเกิดการสึกหรอจะเริ่มเกิดได้จากจุดที่สัมผัสบนพื้นผิว และเมื่อพื้นผิวนั้นมีการเคลื่อนที่ก็จะเกิดการเปลี่ยนแปลงขึ้น โดยเนื้อวัสดุหนึ่งอาจหลุดออกไปหรือหลุดติดไปกับอีกพื้นผิวหนึ่ง ความเสียหายที่เกิดจากการสึกหรอจะมากหรือน้อยขึ้นได้จากมวลหรือปริมาตรที่เสียไป การสึกหรอจะทำให้อายุการใช้งานของเครื่องมือ ทำให้ต้องเสียค่าใช้จ่ายและเวลาในการบำรุงรักษา ชนิดของการสึกหรอที่พบบ่อยมี 2 ชนิดคือ การสึกหรอแบบเกาะติด (Adhesive wear) และการสึกหรอแบบขัดถู (Abrasive wear)

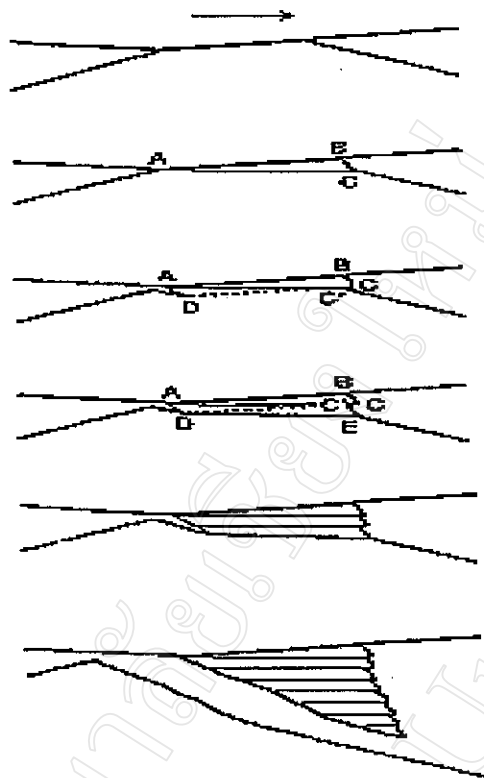
2.5.1 การสึกหรอแบบเกาะติด (Adhesive wear)

การสึกหรอแบบหลุดติดจะเกิดขึ้นได้ก็ต่อเมื่อ มีการสัมผัสถกันของพื้นผิววัสดุ 2 พื้นผิวในลักษณะที่เสียดสีกัน โดยบริเวณที่สัมผัสจะเกิดการหลุดออกไปของเนื้อวัสดุนึงไปติดกับอีกอันหนึ่ง ปัจจัยต่าง ๆ ที่มีผลต่อการสึกหรอแบบเกาะติดได้แก่ สมบัติทางกายภาพเช่น โครงสร้างผลึกพันธะของวัสดุ ขนาดเกร润 และลักษณะขอบเกร润

เนื่องจากขั้นตอนการสึกหรอขึ้นได้จากปริมาตรที่เนื้อวัสดุสูญเสียไป ดังนั้น ปริมาตรที่สูญเสียจะมีความสัมพันธ์กับ น้ำหนักที่ใช้กด, ระยะทางที่เคลื่อนที่ และความแข็งของพื้นผิวที่สึก ดังสมการของ Holm

$$V = \frac{KWX}{H} \quad \dots\dots\dots (2.27)$$

- | | |
|-------|-----------------------------------|
| เมื่อ | V คือ ปริมาตรที่สูญเสีย |
| | W คือ น้ำหนักที่ใช้กด |
| | x คือ ระยะทางที่เคลื่อนที่ |
| | H คือ ความแข็งของพื้นผิวที่สึกหรอ |
| | K คือ สัมประสิทธิ์การสึกหรอ |



รูปที่ 2.12 แสดงการสึกหรอแบบเก่าติด [8]

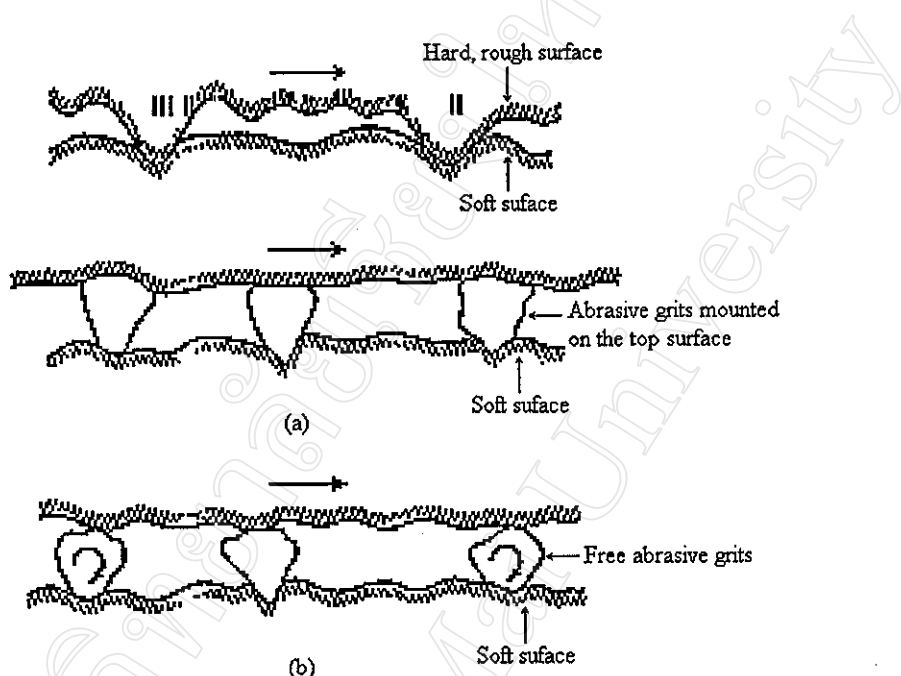
2.5.2 การสึกหรอแบบขัดถู (Abrasive Wear)

การสึกหรอแบบขัดถูเกิดได้จากพื้นผิวที่มีลักษณะแข็ง, หยาบหรือมีอนุภาคที่แข็ง ขัดถู หรือขุดไปบนพื้นผิวที่อ่อนกว่า ความเสียหายที่เกิดระหว่างบริเวณที่สัมผัสกันอาจเกิดการแตกหัก (fracture) หรือผิดรูปอย่างถาวร (Plastic deformation) แตกหัก (fracture) ขึ้นกับเนื้อรัศดุ ถ้ารัศดุ มีความเหนียว (ductile materials) เช่น พลาสติกหรือพอลิเมอร์ความเสียหายที่เกิดขึ้นจะเป็นแบบการผิดรูปแบบถาวรอย่างเดียว เนื่องจากมีความยืดหยุ่นต่อการแตกหัก (fracture toughness) สูง ในขณะที่วัสดุแข็งเปราะ (Brittle materials) ความยืดหยุ่นต่อการแตกจะหักต่อ จะเกิดความเสียหายแบบแตกหัก เช่นในเซรามิกบางจำพวก ความเสียหายแบบขัดถูแบ่งได้เป็น 2 ลักษณะได้แก่

1) การขัดถูระหว่าง 2 พื้นผิว (Two-body abrasive) คือ พื้นผิวที่แข็งกว่าขัดถูลงไปบนอีกพื้นผิวที่อ่อนกว่า ซึ่งมักเกิดกับการใช้งานทางเครื่องมือกล เช่น การเจียรนัย, การกลึง และการกัดผิว เป็นต้น

2) การขัดถูที่มีอนุภาคตัวกลาง (Three-body abrasive) คือ จะมีอนุภาคขนาดเล็กที่แข็งจะเป็นตัวกลางที่คอยขัดถูระหว่างพื้นผิว โดยอาจจะขัดให้ผิวด้านหนึ่งหรือทั้ง 2 ด้านเกิดการ

สีกหรอได้ เช่น การขัดเงา(Polishing) ของสารตัวอย่าง ปกติกลไกการสีกหรอจะเริ่มจากการขัดถูระหว่างพื้นผิวทั้งสองก่อน แล้วทำให้เกิดเป็นอนุภาคเล็กๆ ที่หลุดออกมากอญูระหว่างผิว จากนั้นทำให้เกิดการขัดถูแบบ มีอนุภาคตัวกลาง ขึ้น อย่างไรก็ตามความเสียหายจากการขัดถูแบบ two-body นั้นจะมากกว่า three-body



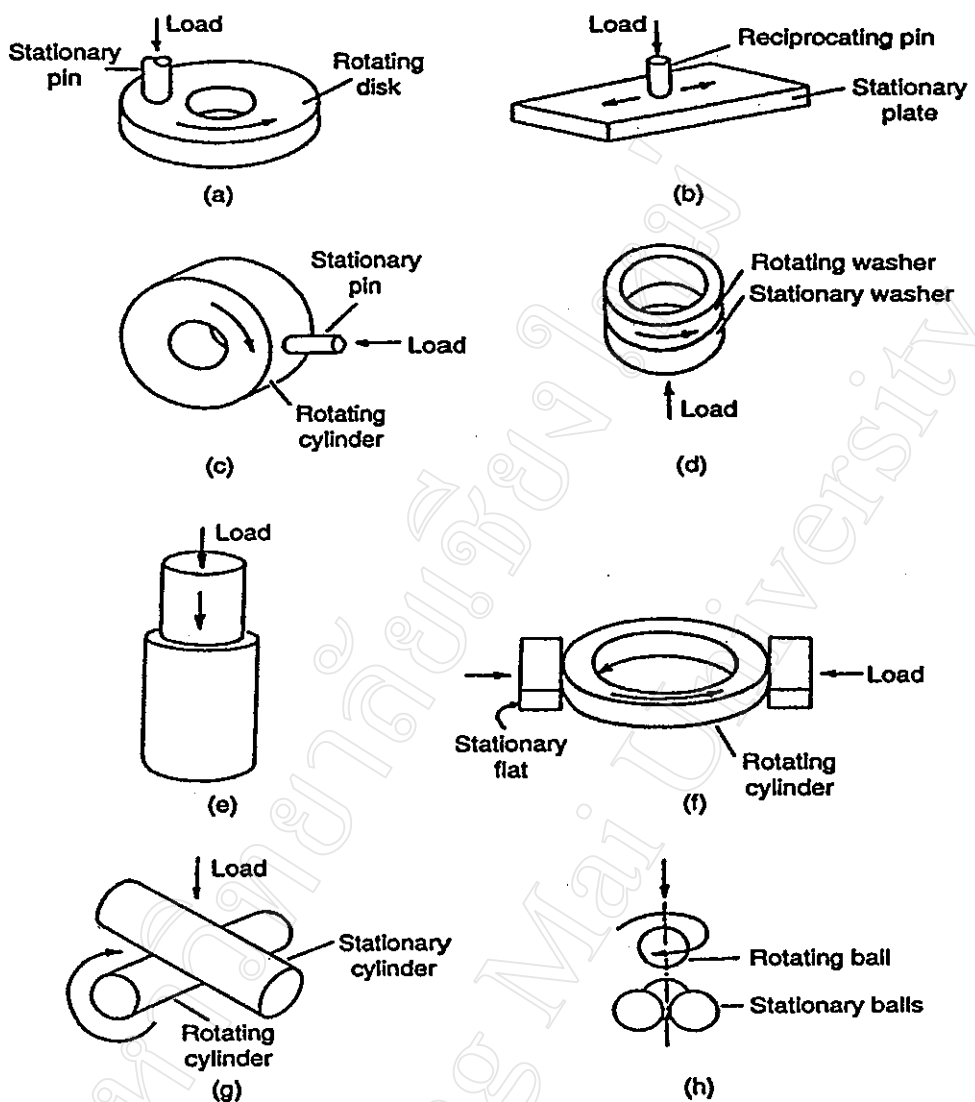
รูปที่ 2.13 แสดงการสีกหรอแบบขัดถู [8]

นอกจากการสีกหรอที่กล่าวมาทั้งสองแบบแล้ว ในการใช้งานจริงยังพบการสีกหรืออีกหลายชนิดเช่น

- การสีกหรอแบบออกซิเดชัน (Oxidation wear)
- การสีกหรอแบบการกัดกร่อน (Corrosive wear)
- การสีกหรอเนื่องจากการล้าของผิว (Surface fatigue wear)

2.5.3 การทดสอบการสึกหรอ

การทดสอบการสึกหรอนั้นจะต้องมีการออกแบบหรือจำลอง การทดสอบให้มีความใกล้เคียงกับการทำงานจริง ซึ่งตัวแปรที่ต้องมีการควบคุมได้แก่ น้ำหนักที่ใช้ ความเร็วในการหมุนหรือเคลื่อนที่ อุณหภูมิ การหล่อลีน เป็นต้นการทดสอบการสึกหรอนั้นมีรายวิธีด้วยกันดังในรูปที่ 2.4



รูปที่ 2.14 แสดงแบบจำลองการทดสอบการสึกหรอแบบต่าง ๆ [8]

- แบบหัวกดบนจานหมุน (Pin-on-disk)
- แบบหัวกดบนแผ่นเรียบ (Pin-on-flat)
- แบบหัวกดบนขอบทรงกระบอก (Pin-on-cylinder)
- แบบวงแหวนขัดถูบนำทางแหวนอีกอันหนึ่ง (Thrust washers)
- แบบหมุดกดลงในกระบอก (Pin-into-bushing)
- แบบแท่งสี่เหลี่ยมขัดถูที่ขอบทรงกระบอก (Rectangular flats on a rotating cylinder)
- แบบทรงกระบอก 2 แท่งขัดถูทิศทางไขว้กัน (Crossed cylinders)
- แบบใช้ลูกบอด 4ลูก (Four-ball)